

Compilerbau WS 2000

Dozent: Prof. Dr. K. Indermark

Eine Vorlesungsmitschrift

Thorsten Uthke
thorsten.uthke@post.rwth-aachen.de

27. Dezember 2000

Inhaltsverzeichnis

0	Einleitung	3
1	Lexikalische Analyse	5
2	Syntaktische Analyse	13
2.1	Top-Down-Analyse, LL(k)-Grammatiken	14
2.2	Bottom-Up-Analyse, LR(k)-Grammatik	21
2.3	Bottom-Up-Analyse mehrdeutiger Grammatiken	28
3	Semantische Analyse, Attributgrammatiken	29

0 Einleitung

Compiler = Programm zur Übersetzung von PS-Programmen (**Quellprogramm**) in äquivalente MS-Programme (**Zielprogramm**)

PS = höhere Programmiersprache

- imperative PS: Wertzuweisungen, Kontrollstrukturen, Datenstrukturen, Programmstrukturen (Moduln, Klassen)
- deklarative PS: funktional, logisch
- nebenläufige PS: kommunizierende Prozesse, verteilte Systeme
- objektorientierte PS: Klassen, Vererbung

MS = Maschinensprache

Grundkonzept des Von-Neumann-Rechners

elementare Maschinenbefehle (vergl. Rechnerstrukturen)

RISC = reduced instruction set computer

CISC = complex instruction set computer

Parallelrechner, verteilte Systeme, Rechnernetze

Aspekte einer PS

- 1) **Syntax**: formaler hierarchischer Aufbau eines Programmes aus strukturellen Komponenten
- 2) **Semantik**: Bedeutung eines Programms, Zustandstransformation einer abstrakten Maschine
- 3) **Pragmatik**: benutzerfreundliche Formulierung, natürliche Sprache, Maschinenabhängigkeiten

Äquivalenz von Programmen $\hat{=}$ semantische Gleichheit

Struktur eines Compilers

logisch unabhängige Phasen, die aber verzahnt als **Passes** (Läufe) durchgeführt werden: Analysephase & Synthesephase

Analyse: Bestimmung der syntaktischen Struktur, Fehlererkennung

- lexikalische Analyse: Erkennung von Symbolen, Trennzeichen, Kommentaren (endliche Automaten)
- syntaktische Analyse: Erkennung des hierarchischen Programmaufbaus, Ableitungsbaum (Kellerautomaten)
- semantische Analyse: Kontextabhängigkeiten, statische Semantik, Typinformation. Attributierung des Ableitungsbaums mit semantisch relevanter Information (attributierte Grammatiken)

Synthese: Erzeugung von MS-Code aus dem attribuierten Ableitungsbaum

- Übersetzung in Zwischencode für eine abstrakte Maschine (Kann fehlen, erhöht die Portabilität, vergl. Java Virtual Machine (JVM))
- Optimierung: Verbesserung von Laufzeit und Speicherbedarf
- Codegenerierung: effiziente Verwendung von Registern und MS-Befehlssatz zur Erzeugung von MS-Code

Frontend: (MS-unabhängig) Analyse & Zwischencode & MS-unabhängige Optimierung

Backend: (MS-abhängig) MS-Code-Generierung & Optimierung

One-Pass-Compiler, n-Pass-Compiler: n = Anzahl der Läufe durch das Quellprogramm

Ziele:

- Wirkungsweise und Konstruktion von Compilern
- Vertieftes Verständnis von PS und ihrem Rechnerbezug
- Compiler als gut verstandenes Beispiel eines SW-Systems mit Interaktion von SW-Bausteinen
- Erkennung und Transformation strukturierter Objekte

1 Lexikalische Analyse

Ausgangspunkt: Quellprogramm P als Zeichenfolge

Σ_0 **Zeichensatz**, $a \in \Sigma_0$ **Zeichen** bzw. **lexikalisches Atom**, $P \in \Sigma_0$.

P besitzt aufgrund der Pragmatik von PS eine **lexikalische Struktur**.

Pragmatischer Aspekt: Benutzerfreundlichkeit von PS

- natürliche Sprache für Bezeichner, Schlüsselworte, ...
- mathematische Formelsprache für Zahlen, Formeln. Indices linearisieren, z.B. $y^2 \rightsquigarrow y * *2$
- Leerzeichen, Zeilenwechsel, Einrückung, ...
- Kommentare

\rightsquigarrow gute Lesbarkeit und Wartbarkeit

Semantik von P und Übersetzung von P ist syntaxorientiert, sie folgt dem hierarchischen Programmaufbau, die pragmatischen Aspekte sind dabei unerheblich.

1. Beobachtung:

Syntaktische Atome (**Symbole**) werden als Folgen von lexikalischen Atomen, sogenannten **Lexemen**, dargestellt.

1. Aufgabe der lexikalischen Analyse: Zerlegung des Quellprogramms P in eine Folge von Lexemen.

2. Beobachtung:

Für die syntaktische Analyse ist der Unterschied von Lexemen oft irrelevant, z.B. müssen Bezeichner nicht unterschieden werden. Lexeme werden oft zu **Symbolklassen** zusammengefaßt.

Darstellung einer Symbolklasse: **Token**.

Syntaktische Analyse bearbeitet eine Tokenfolge. Identifizierung eines Symbols durch zusätzliches **Attribut** für die semantische Analyse und Codegenerierung.

Symbol = (Token, Attribut).

2. Aufgabe: Transformation einer Lexem-Folge in eine Symbol-Folge.

Lexikalische Analyse

Zerlegung eines Quellprogramms in eine Folge von Lexemen und deren Transformation in eine Folge von Symbolen.

Scanner: Programm für die lexikalische Analyse

Beachte: Leerzeichen werden gelöscht. Sie spielen eine Rolle bei der Lexem-Gliederung. Kommentare werden gelöscht.

Wichtigste Symbolklassen (eigentlich Lexem-Klassen)

- Bezeichner
- Zahlwörter
- Schlüsselwörter: Bezeichner mit vorgegebener Bedeutung
- Einfache Symbole: ein Sonderzeichen, z.B. +, -, *, (, . . .
- Zusammengesetzte Symbole: Folgen von 2 oder mehr Sonderzeichen, z.B. :=, **, <=, . . .
- Leerzeichen: $\sqcup, \sqcup \dots \sqcup$
- Spezielle Symbole: Kommentare, Pragmas (Compiler-Optionen)

Token: id, const, divsym, getsym, . . .

Attribute: Zeiger in die Symboltabelle, Binärdarstellung einer Zahl, leer bei Symbolklassen mit einem Symbol

Feststellung: Symbolklassen und reguläre Mengen \rightsquigarrow Beschreibung durch reguläre Ausdrücke

Erkennung durch endliche Automaten, automatische Scanner-Generierung, z.B. Lex.

Scanner-Konstruktion**Definition 1.1 (Reguläre Ausdrücke)**

Für ein Alphabet Σ ist die Menge $RA(\Sigma)$ der **regulären Ausdrücke über Σ** definiert durch

- $\Lambda \in RA(\Sigma), \Sigma \subseteq RA(\Sigma)$
- $\alpha, \beta \in RA(\Sigma) \curvearrowright (\alpha \vee \beta), (\alpha \cdot \beta), (\alpha^*) \in RA(\Sigma)$

Semantik: $\llbracket \cdot \rrbracket : RA(\Sigma) \rightarrow \mathcal{P}(\Sigma^*)$

- $\llbracket \Lambda \rrbracket := \emptyset, \llbracket a \rrbracket := \{a\}$
- $\llbracket \alpha \vee \beta \rrbracket := \llbracket \alpha \rrbracket \cup \llbracket \beta \rrbracket$
- $\llbracket \alpha \cdot \beta \rrbracket := \llbracket \alpha \rrbracket \cdot \llbracket \beta \rrbracket$
- $\llbracket \alpha^* \rrbracket := \llbracket \alpha \rrbracket^* \quad (L^* = \bigcup_{n=0}^{\infty} L^n)$

Spracherweiterung von $RA(\Sigma)$

zur einfacheren Beschreibung von Symbolklassen (regulären Sprachen)

- a) Vereinfachende Bezeichnungen:

- **Präzedenzregeln** zur Vermeidung von Klammern

- * bindet stärker als \cdot , \cdot stärker als \vee
- \cdot und \vee sind linksassoziativ
- \cdot wird weggelassen, \vee als $|$ geschrieben

Beispiel: $a|b^*c$ steht für $(a \vee ((b^*) \cdot c))$

- **Abkürzungen**

$$\alpha^+ := \alpha\alpha^*$$

$$\alpha^? := \alpha|\Lambda^*$$

$$[abc] := a|b|c$$

$$[a - z] := a|b|\dots|z$$

b) **Reguläre Definitionen**

Schrittweise Beschreibung von Symbolklassen durch zusätzliche frei gewählte Bezeichner (Meta-Bezeichner)

$$\underline{id}_1 = \alpha_1 \quad \text{mit } \underline{id}_1, \dots, \underline{id}_n \notin \Sigma$$

$$\vdots$$

$$\text{und } \alpha_i \in RA(\Sigma \cup \{\underline{id}_1, \dots, \underline{id}_{n-1}\})$$

$$\underline{id}_n = \alpha_n$$

Beachte: Keine Rekursion, Entschachtelung ist möglich, andernfalls EBNF (CFG).

Das einfache Matching-Problem

Entscheide für $\alpha \in RA(\Sigma)$ und $w \in \Sigma^*$, ob $w \in \llbracket \alpha \rrbracket$ oder nicht.

Hilfsmittel: Endliche Automaten

$\mathfrak{A} = \langle Q, \Sigma, \delta, q_0, F \rangle \in NFA(\Sigma)$, wenn $\delta : Q \times (\Sigma \cup \{\varepsilon\}) \rightarrow \mathcal{P}(Q)$.

Für $T \subseteq Q$ ist die ε -**Hülle** $\varepsilon(T)$ definiert durch

- $T \subseteq \varepsilon(T)$
- $q \in \varepsilon(T) \curvearrowright \delta(q, \varepsilon) \subseteq \varepsilon(T)$

Die erweiterte Transitionsfunktion $\bar{\delta} : \mathcal{P}(Q) \times \Sigma^* \rightarrow \mathcal{P}(Q)$ ist definiert durch

- $\bar{\delta}(T, \varepsilon) := \varepsilon(T)$
- $\bar{\delta}(T, wa) := \varepsilon(\bigcup_{q \in \bar{\delta}(T, w)} \delta(q, a))$

\mathfrak{A} erkennt die Sprache $L(\mathfrak{A}) := \{w \in \Sigma^* \mid \bar{\delta}(\{q_0\}, w) \cap F \neq \emptyset\}$

$\mathfrak{A} \in DFA(\Sigma)$, wenn gilt

$$|\delta(q, a)| = 1 \text{ für alle } q \in Q, a \in \Sigma$$

$$\text{und } |\delta(q, \varepsilon)| = 0 \text{ für alle } q \in Q$$

Also: $\delta : Q \times \Sigma \rightarrow Q$

DFA-Methode

$$\alpha \in RA(\Sigma) \xrightarrow{(1)} \mathfrak{A}(\alpha) \in NFA(\Sigma) \xrightarrow{(2)} \mathfrak{A}(\alpha)^P \in DFA(\Sigma)$$

1) **Methode von Thompson** (Beweis des Satzes von Kleene) (1968)

Korrektheit: folgende Eigenschaften

Jeder Automat hat genau einen Anfangszustand q_0 und genau einen Endzustand q_f mit $q_0 \neq q_f$, q_0 Quelle, q_f Senke.

Jeder Zustand hat höchstens zwei Folgezustände, einen a -Nachfolger oder höchstens 2 ε -Nachfolger.

Komplexität: linearer Platz- und Zeitbedarf

- *Platz:* $\mathfrak{A}(\alpha)$ hat höchstens $2|\alpha|$ Zustände
 $|\alpha|$ = Anzahl der Grundzeichen von $\Sigma \cup \{\Lambda\}$ und der Op. $\vee, \cdot, *$
- *Zeit:* Syntaxanalyse von α in $\mathcal{O}(|\alpha|)$ Schritten, z.B. Transformation von α in Postfix-Notation (ohne Klammern) & schrittweiser Aufbau von $\mathfrak{A}(\alpha)$ in $\mathcal{O}(|\alpha|)$ Schritten

2) $\mathfrak{A}(\alpha) \in NFA(\Sigma) \mapsto \mathfrak{A}(\alpha)^P \in DFA(\Sigma)$

Konstruktion der ε -Hülle

Sei $\mathfrak{A}(\alpha) \in NFA(\Sigma)$ mit Zustandsmenge Q und $T \subseteq Q$.

Aufgabe: Berechne $\varepsilon(T) \subseteq Q$

Idee: Ein Stack speichert Zustände, welche auf ε -Nachfolger zu testen sind.

Komplexität: Idee der Darstellung von $T \subseteq Q$ (als Boolesches Array)

$Q = \{1, \dots, n\}$, $\tilde{T} : Q \rightarrow \{0, 1\}$, damit: $q \in T \iff \tilde{T}(q) = 1$

Die Zugehörigkeit eines Zustandes q zu T ist also in $\mathcal{O}(1)$ zu prüfen.

- *Platz:* $\mathcal{O}(n)$, weil $length(stack) \leq n$; denn ein Zustand q erscheint höchstens ein mal auf dem Stack (wegen der Überprüfung, ob q schon in $clos(T)$ enthalten ist).
- *Zeit:* $\mathcal{O}(n)$, insbesondere weil die *for*-Schleife in konstanter Zeit durchlaufen wird (q hat höchstens 2 ε -Nachfolger).

Potenzmengenkonstruktion $\mathfrak{A}(\alpha) \in NFA(\Sigma) \mapsto \mathfrak{A}(\alpha)^P \in DFA(\Sigma)$

$\mathfrak{A}(\alpha) = \langle Q, \Sigma, \delta, q_0, F \rangle$ mit $\delta : Q \times (\Sigma \cup \{\varepsilon\}) \rightarrow \mathcal{P}(Q)$

$\mathfrak{A}(\alpha)^P = \langle \hat{Q}, \Sigma, \hat{\delta}, \hat{q}_0, \hat{F} \rangle$ mit

- $\hat{Q} := \{T \subseteq Q \mid T = \bar{\delta}(\{q_0\}, w), w \in \Sigma^*\}$
- $\hat{\delta} : \hat{Q} \times \Sigma \rightarrow \hat{Q}$ und $\hat{\delta}(T, a) := \bar{\delta}(T, a)$
- $\hat{q}_0 := \varepsilon(\{q_0\})$
- $T \in \hat{F} \iff T \cap F \neq \emptyset$

Algorithmus

Idee: \hat{Q} mit $\varepsilon(\{q_0\})$ initialisieren und sukzessiv mit $\hat{\delta}(T, a)$ erweitern; $T \in \hat{Q}$ wird markiert, wenn seine Nachfolger in \hat{Q} liegen.

Komplexität:

- *Platz*: $\mathcal{O}(2^{|\alpha|})$ (jedoch nur erreichbare Zustände)
- *Zeit*: $\mathcal{O}(2^{|\alpha|})$, aber: Berechnung von $\widehat{\delta}(T, a)$ in Linearzeit, weil die ε -Hülle Linearzeit-Berechenbar ist und ein Zustand von $\mathfrak{A}(\alpha)$ höchstens einen a -Nachfolger hat.

NFA-Methode

Verbesserung des Platzbedarfs bei längerer Laufzeit durch Verzicht auf die volle Potenzmengenkonstruktion, da die Eingabe $w \in \Sigma^*$ bekannt ist. Potenzmengenkonstruktion nur für den Lauf von w durch $\mathfrak{A}(\alpha)$. Direkte Berechnung von $\widehat{\delta}(\{q_0\}, w)$.

Algorithmus:

Eingabe: $\mathfrak{A}(\alpha) \in NFA(\Sigma)$ und $w = a_1 \dots a_n \in \Sigma^*$ in der Form

a_1	\dots	a_n	eof
-------	---------	-------	-------

↑

Komplexität:

- *Platz*: $\mathcal{O}(|\alpha| + |w|)$
 1. Stack für T
 2. Stack für $\bigcup_{q \in T} \delta(q, a)$

Stacklänge $\leq |Q|$, Berechnung der ε -Hülle mit zusätzlichem Bitvektor der Länge $|Q|$
- *Zeit*: $\mathcal{O}(|\alpha| \cdot |w|)$

Kombination von NFA- und DFA- Methode

Die Zwischenergebnisse von bereits berechneten Transitionen in einem Cache-Speicher ablegen.

Das erweiterte Matching-Problem

Seien $\alpha_1, \dots, \alpha_n \in RA(\Sigma)$ und $w \in \Sigma^*$. Sei ferner $\Delta = \{S_1, \dots, S_n\}$ ein Alphabet von Symbolen. Wenn $w = w_1 w_2 \dots w_k$ und $w_j \in \llbracket \alpha_{i_j} \rrbracket$ für $j = 1, \dots, k$, dann heißt (w_1, \dots, w_k) eine **Zerlegung von w bezüglich $\alpha_1, \dots, \alpha_n$** und $v = S_{i_1} \dots S_{i_k}$ eine **Analyse von w bezüglich $\alpha_1, \dots, \alpha_n$** .

v repräsentiert die lexikalische Struktur von w bezüglich $\alpha_1, \dots, \alpha_n$.

Aufgabe: Analyse bestimmen bzw. Fehler melden. Weder Zerlegung noch Analyse sind eindeutig bestimmt.

Konvention für Eindeutigkeit

1) **Prinzip des längsten Matches** (maximal munch)

Eine Zerlegung (w_1, \dots, w_k) von w bezüglich $\alpha_1, \dots, \alpha_n$ heißt

lm-Zerlegung, wenn für alle $j = 1, \dots, k$, $x, y \in \Sigma^*$ und $p, q \in \{1, \dots, n\}$

gilt: $w = w_1 \dots w_j x y$ mit $w_j \in \llbracket \alpha_p \rrbracket$ und $w_j x \in \llbracket \alpha_q \rrbracket \quad \curvearrowright \quad x = \varepsilon$.

Folgerung: Für $w, \alpha_1, \dots, \alpha_n$ gibt es höchstens eine lm-Zerlegung.

2) **Prinzip des ersten Matches** (für die Eindeutigkeit der Analyse)

Denn trotz Eindeutigkeit der lm-Zerlegung, sind im Allgemeinen mehrere zugehörige Analysen möglich, da $[[\alpha_p]] \cap [[\alpha_q]] \neq \emptyset$ möglich.

Konvention: Erster Match in der Reihe $\alpha_1, \dots, \alpha_n$ zählt.

Sei (w_1, \dots, w_k) eine lm-Zerlegung und $v = S_1 \dots S_k$ eine zugehörige Analyse von w bezüglich $\alpha_1, \dots, \alpha_n$. Dann heißt v eine **fm-Analyse**, falls für alle $j = 1, \dots, k$ und $i = 1, \dots, n$ gilt: $w_j \in [[\alpha_i]] \iff i_j \leq i$.

Folgerung: Für w und $\alpha_1, \dots, \alpha_n$ gibt es höchstens eine fm-Analyse.

Berechnung der fm-Analyse

Vorraussetzung: $\alpha_1, \dots, \alpha_n \in RA(\Sigma)$. O.B.d.A. $[[\alpha_i]] \neq \emptyset$ und $\varepsilon \notin [[\alpha_i]]$ für $i = 1, \dots, n$, $w \in \Sigma^*$, $\Delta = \{S_1, \dots, S_n\}$ Symbolalphabet.

1) Konstruiere für $i = 1, \dots, n$ den Automaten $\mathfrak{A}_i = \langle Q_i, \Sigma, \delta_i, q_0^{(i)}, F_i \rangle \in DFA(\Sigma)$, so daß $[[\alpha_i]] = L(\mathfrak{A}_i)$.

2) Bilde aus diesen den Produktautomaten $\mathfrak{A} = \langle Q, \Sigma, \delta, q_0, F \rangle \in DFA(\Sigma)$ mit $Q := Q_1 \times \dots \times Q_n$, $q_0 = (q_0^{(1)}, \dots, q_0^{(n)})$, $\delta((q^{(1)}, \dots, q^{(n)}), a) = (\delta(q^{(1)}, a), \dots, \delta(q^{(n)}, a))$ und $(q^{(1)}, \dots, q^{(n)}) \in F \iff \exists i \in \{1, \dots, n\} : q^{(i)} \in F_i$.

Dann gilt: $L(\mathfrak{A}) = \bigcup_{i=1}^n [[\alpha_i]]$

Zerlege F wegen "first match" in $F = \bigcup_{i=1}^n F^{(i)}$ durch die Forderung $(q^{(1)}, \dots, q^{(n)}) \in F^{(i)} \iff q^{(i)} \in F_i$ und $q^{(j)} \notin F_j$ für alle $1 \leq j < i$.

Dann gilt: $\bar{\delta}(q_0, w) \in F^{(i)} \iff w \in [[\alpha_i]]$ und $w \notin \bigcup_{j=1}^{i-1} [[\alpha_j]]$

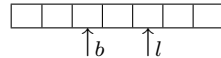
$q \in Q$ heißt **produktiv** $\iff \exists w \in \Sigma^* : \bar{\delta}(q, w) \in F$.

P : Menge der produktiven Zustände, also $F \subseteq P$.

Aufgabe: P bestimmen

3) Erweitere \mathfrak{A} zu dem Backtrack-DFA \mathcal{B} mit Ausgabe

Idee: Einweg-Leseband mit 2 Köpfen, ein Backtrack-Kopf b zur Markierung eines Matches und einen Lookahead-Kopf l zur Bestimmung des längsten Matches



Konfigurationsmenge von \mathcal{B} : $(\{N\} \cup \Delta) \times \Sigma^* Q \Sigma^* \times \Delta^* \{\varepsilon, lexerror\}$

Anfangskonfiguration für $w \in \Sigma^*$: $(N, q_0 w, \varepsilon)$

Transitionen: (wobei $q' := \delta(q, a)$)

a) normal mode: Match suchen

$$(N, qaw, W) \vdash \begin{cases} (N, q'w, W) & , \text{ falls } q' \in P \setminus F \\ (S_i, q'w, W) & , \text{ falls } q' \in F^{(i)} \\ \text{Ausgabe: } Wlexerror & , \text{ falls } q' \notin P \end{cases}$$

b) backtrack mode: längsten Match suchen

$$(S, vqaw, W) \vdash \begin{cases} (S, vaq'w, W) & , \text{ falls } q' \in P \setminus F \\ (S_i, q'w, W) & , \text{ falls } q' \in F^{(i)} \\ (N, q_0vaw, WS) & , \text{ falls } q' \notin P \end{cases}$$

c) Eingabeende

$$\begin{aligned} (N, q, W) \vdash \text{Ausgabe: } Wlexerror & , \text{ falls } q \in P \setminus F \\ (S, q, W) \vdash \text{Ausgabe: } WS & , \text{ falls } q \in F \\ (S, vaq, W) \vdash (N, q_0va, WS) & , \text{ falls } q \in P \setminus F \end{aligned}$$

Dann gilt für $w \in \Sigma^*$:

$$(N, q_0w, \varepsilon) \vdash^* \text{Ausgabe: } W \in \Delta^* \iff W \text{ ist flm-Analyse von } w$$

$$(N, q_0w, \varepsilon) \vdash^* \text{Ausgabe: } Wlexerror \iff \text{es gibt keine flm-Analyse von } w$$

Zeitaufwand: $\mathcal{O}(|w|^2)$ im worst-case

Beispiel $\alpha_1 = abc$, $\alpha_2 = (abc) * d$ und $\Sigma = \{abcd\}$
 $\implies w = (abc)^m$ erfordert $\mathcal{O}(m^2)$ Schritte

Verbesserung durch Tabular-Methode (vergleiche KMP für string pattern matching) in Linearzeit

Literatur: Th. Reps: "Maximal munch"-Tokenization in Linear Time, ACM-TOPLAS 20, 1998, p259-273

Beispiel Teil 1: siehe Folie 2-1 (Symbolklassen)

Teil 2: Anweisungen

```
stmt = if expr then stmt | if expr then stmt else stmt
expr = term relop term | term
term = id | num
```

Annahme für die lexikalische Analyse:

Die Lexeme eines `stmt` sind durch blanks getrennt.

\implies besondere Rolle von blanks (White Space)

- Trennung von "eentlichen" Lexemen, um mit "1-lookahead" auszukommen
- als Token für syntaktische Analyse überflüssig

Sieber: Programm zur Beseitigung überflüssiger Lexeme, wie Blanks, Kommentare, Pragmas, ...

Attributberechnung

Symbolklassen mit mehreren Lexemen erfordern zusätzlich eine Attributberechnung

- Dezimalzahl \rightsquigarrow Binärzahl (`install_num`)

- Relationale Operatoren: LT,GT,EQ,...
- Bezeichner: Gleichheit von Bezeichnern relevant
 ⇒ Verwendung einer Lexemtabelle (LexTab)
install_id: Eintrag eines Bezeichners in LexTab, Zeiger als Attribut

Alternative Behandlung von Schlüsselwörtern

Zunächst als Bezeichner behandeln, LexTab mit Schlüsselwörtern initialisieren, die Attributberechnung (*install_id*) liefert statt (ID, [*Zeiger in LexTab*]) einfach (IF,).

Automatische Scannergenerierung mit Lex (Unix-Tool)

```
scan.l  $\xrightarrow{\text{Lex}}$  lex.yy.c  $\xrightarrow{\text{C-Compiler}}$  a.out
(LexSpec) (Scanner als C-Programm) (ausführbarer Scanner)
Programm  $\xrightarrow{a.out}$  Tokenfolge
```

Aufbau einer Lex-Spezifikation

Definitionen

```
%%
```

```
Regeln
```

```
%%
```

```
C-Hilfsprozeduren } optional
```

Definitionen

- Direkter C-Code
- Substitutionen (reguläre Def.): Name *regexp*
- Startzustände (hier nicht vorgestellt)

Regeln: muster {aktion}

muster hat folgenden Aufbau: *regexp*₁ [/*regexp*₂]

Eine Zeichenkette paßt zu *muster*, falls sie *regexp*₁ matcht und ein lookahead *regexp*₂ matcht.

aktion: C-Code zur Berechnung von Token und Attribut

Finden der passenden Regel

- 1) longest match
- 2) first match
- 3) keine passende Regel: Zeichen wird ausgegeben, kann mit *regexp*: `.\|n` vermieden werden (*regexp* matcht alles)

Token werden als Int-Werte kodiert

Attribute werden über globale Variablen weitergeleitet: vordef. Variable *yyval*

Fileends: Anfang einer benutzerdefinierten Prozedur

```
int yywrap(void)
```

Rückgabe 1 \rightsquigarrow Lex liefert 0 zurück (kein Token/Ende der Tokensequenz)

2 Syntaktische Analyse

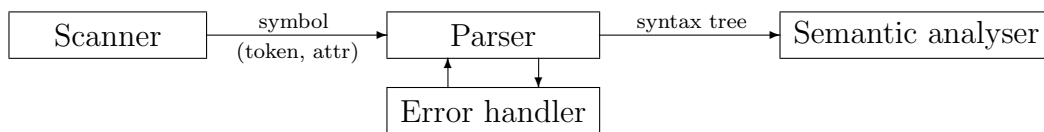
Aufgabe: Zerlegung der Symbolfolge, die der Scanner ausgibt, in syntaktische Einheiten, bzw. Behandlung syntaktischer Fehler

Syntaktische Einheiten: Variablen, Ausdrücke, Anweisungen,...

Beachte: Schachtelung syntaktischer Einheiten, Baumstruktur im Unterschied zur linearen Symbolfolge

Parser: Programm für die syntaktische Analyse

Schnittstelle



Beschreibung der syntaktischen Struktur: kontextfreie Grammatiken

Erkennung und Analyse: Kellerautomaten mit Ausgabe

Problem: deterministische Simulation

Allgemeiner Fall: beliebige CFG

Tabularverfahren von CYK (Cocke, Younger & Kasami) mit $\mathcal{O}(n^3)$ -Zeit- und $\mathcal{O}(n^2)$ -Platzkomplexität

Programmiersprachen: spezielle CFG

Analyse durch deterministischen Automaten mit "input look ahead" bei linearem Platz- und Zeitbedarf

- a) **Top-Down-Analyse:** Konstruktion des Ableitungsbaums von der Wurzel zu den Blättern in Form einer Linksanalyse
- b) **Bottom-Up-Analyse:** umgekehrt, entspricht gespiegelter Rechtsanalyse

Kontextfreie Grammatiken

$G = \langle N, \Sigma, P, S \rangle \in CFG(\Sigma)$

Bezeichnungskonventionen:

$A, B, C, \dots \in N$ Nichtterminalsymbole

$a, b, c, \dots \in \Sigma$ Terminalsymbole

$u, v, w, \dots \in \Sigma^*$ Terminalwörter

$\alpha, \beta, \gamma, \dots \in \mathcal{X}$ Satzformen (mit $\mathcal{X} = N \cup \Sigma$)

$A \rightarrow \alpha \in P$ Produktion/Regel

Ableitungsrelation: $\Rightarrow \subseteq (\mathcal{X}^*) \times (\mathcal{X}^*)$ ist definiert durch

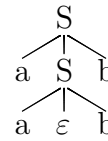
$$\alpha \Rightarrow \beta \iff \alpha = \alpha_1 A \alpha_2, A \rightarrow \gamma \in P, \beta = \alpha_1 \gamma \alpha_2$$

Gilt außerdem $\alpha_1 \in \Sigma^*$ bzw. $\alpha_2 \in \Sigma^*$, so $\alpha \Rightarrow_l \beta$ bzw. $\alpha \Rightarrow_r \beta$.

Sprechweise: Ableitungsschritt, Links..., Rechts...

Erzeugte Sprache: $L(G) = \{w \in \Sigma^* \mid S \xRightarrow{*} w\} = \{w \in \Sigma^* \mid S \xRightarrow{*}_l w\} = \{w \in \Sigma^* \mid S \xRightarrow{*}_r w\}$

Beispiel: $G : S \rightarrow aSb|\epsilon$
 $S \Rightarrow aSb \Rightarrow a^2Sb^2 \Rightarrow \dots$



Ableitungsbaum: repräsentiert die syntaktische Struktur des abgeleiteten Wortes

Definition 2.1

G heißt **eindeutig**, wenn es für jedes $w \in L(G)$ genau einen Ableitungsbaum gibt.

Folgerung: G ist eindeutig, genau dann wenn es für jedes $w \in L(G)$ genau eine Links- bzw. Rechtsanalyse gibt.

Definition 2.2

G heißt **mehrdeutig**, wenn G nicht eindeutig ist.

l-Analyse, r-Analyse

Darstellung von l- bzw. r-Ableitungen durch Nummernfolgen

$|P| = p$, $[p] := \{1, \dots, p\}$, $\pi : [p] \rightarrow P$ bijektiv, $\pi_i = \pi(i)$

$wA\alpha \xrightarrow{i}_l w\gamma\alpha$ bzw. $\alpha Aw \xrightarrow{i}_r \alpha\gamma w$, falls $\pi_i = A \rightarrow \gamma$

Für $z = i_1 i_2 \dots i_n \in [p]^+$ soll $\alpha \xrightarrow{z}_l \beta \iff \alpha \xrightarrow{i_1}_l \alpha_1 \xrightarrow{i_2}_l \dots \xrightarrow{i_n}_l \alpha_n = \beta$ für passende $\alpha_1, \dots, \alpha_{n-1}$.

$\alpha \xrightarrow{\epsilon}_l \alpha$ (ein leerer l-Ableitungsschritt)

Definition 2.3

z heißt **l-Analyse** von $\alpha \iff S \xrightarrow{z}_l \alpha$.

z heißt **r-Analyse** von $\alpha \iff S \xrightarrow{z}_r \alpha$.

Syntaxanalyse

Gegeben: $G \in CFG$, $w \in \Sigma^*$. Berechnung einer l/r-Analyse, falls $w \in L(G)$; andernfalls Bestimmung syntaktischer Fehler.

Generalvoraussetzung

$G \in CFG$ ist reduziert, d.h. für jedes $A \in N$ gibt es $\alpha, \beta \in \mathcal{X}^*$ und $w \in \Sigma^*$, so daß $S \xrightarrow{*} \alpha A \beta$ (A erreichbar) und $A \xrightarrow{*} w$ (A produktiv).

2.1 Top-Down-Analyse, LL(k)-Grammatiken

Definition 2.4 (Top-Down-Analyseautomat von $G \in CFG$, $NTA(G)$)

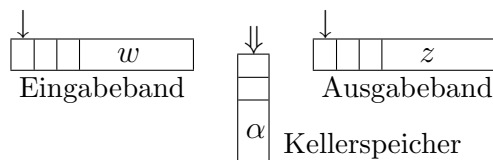
Eingabealphabet: Σ

Kellularphabet: $\mathcal{X} = N \cup \Sigma$

Ausgabealphabet: $[p]$

Zustandsalphabet: entfällt, der Automat arbeitet mit einem Kontrollzustand

Konfigurationsmenge: $\Sigma^* \times \mathcal{X}^* \times [p]^*$ (Kellerspitze links)



Transitionen:

- Ableitungsschritt: $(w, A\alpha, z) \vdash (w, \beta\alpha, zi)$ falls $\pi_i = A \rightarrow \beta$
- Vergleichsschritt: $(aw, a\alpha, z) \vdash (w, \alpha, z)$ für $a \in \Sigma$

Anfangskonfiguration für $w \in \Sigma^*$: (w, S, ε)

Endkonfiguration: $(\varepsilon, \varepsilon, z)$ falls $w \in L(G)$ (bzw. Fehler)

Beachte: Nichtdeterminismus wegen $A \rightarrow \beta|\gamma$

Satz 2.1 Der NTA(G) berechnet l-Analysen, d.h. $(w, S, \varepsilon \vdash^* (\varepsilon, \varepsilon, z) \iff z$ ist l-Analyse von w .

Beweis: " \Rightarrow ", d.h. der Automat arbeitet korrekt

(*) $(w, \alpha, y) \vdash^* (\varepsilon, \varepsilon, yz) \rightsquigarrow \alpha \xrightarrow{z}_l w$

Beweis von (*) durch Induktion über $k = |z|$

$k = 0$: $(w, \alpha, y) \vdash^* (\varepsilon, \varepsilon, y)$ nur Vergleichsschritte,

$w = \alpha$, also (*) mit $w \xrightarrow{\varepsilon}_l w$

$k \rightsquigarrow k + 1$: $z = iz'$, $\alpha = uA\beta$, $w = uv$, $\pi_i = A \rightarrow \gamma$

$(w, \alpha, y) = (uv, uA\beta, y) \vdash^* (v, A\beta, y) \vdash^* (v, \gamma\beta, yi) \vdash^* (\varepsilon, \varepsilon, yiz')$

Nach IV: $\gamma\beta \xrightarrow{z'}_l v$ (in $|z'| = k$ Schritten) und damit folgt (*) wegen

$\alpha = uA\beta \xrightarrow{i}_l u\gamma\beta \xrightarrow{z'}_l uv = w$, also $\alpha \xrightarrow{z}_l w$.

" \Leftarrow " in der 3. Übung

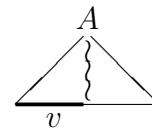
Ziel: Nichtdeterminismus des NTA(G) durch k -lok-ahead auf der Eingabe beseitigen ($k \in \mathbb{N}$).

Definition 2.5 (first-Mengen)

Sei $G \in CFG$, $\alpha \in \mathcal{X}^*$ und $k \in \mathbb{N}$. Wir definieren $first_k(\alpha) \subseteq \Sigma^*$ durch $first_k(\alpha) := \{v \in \Sigma^* | \exists w \in \Sigma^* : \alpha \xrightarrow{*} vw, |v| = k\} \cup \{v \in \Sigma^* | \alpha \xrightarrow{*} v, |v| < k\}$

Folgerungen

- $first_k(\alpha) \neq \emptyset$ weil G reduziert
- $\varepsilon \in first_k(\alpha) \iff k = 0$ oder $\alpha \xrightarrow{*} \varepsilon$
- $\alpha \xrightarrow{*} \beta \rightsquigarrow first_k(\beta) \subseteq first_k(\alpha)$
- $v \in first_k(\alpha) \iff \exists x \in \Sigma^* : \alpha \xrightarrow{*}_l x, \{v\} = first_k(x)$



Wunsch: A-Regel durch v festlegen \rightsquigarrow LL(k)-Grammatiken

(Lesen der Eingabe von links nach rechts mit k-look-ahead, Berechnung einer Linksanalyse)

Definition 2.6 (LL(k)-Grammatik)

Sei $G \in CFG$ und $k \in \mathbb{N}$. $G \in LL(k) \iff$ Für alle l-Ableitungen der Form

$$S \xRightarrow{*}_l wA\alpha \begin{cases} \nearrow w\beta\alpha \xRightarrow{*}_l wx \\ \searrow w\gamma\alpha \xRightarrow{*}_l wy \end{cases} \quad \text{mit } first_k(x) = first_k(y) \text{ gilt: } \beta = \gamma.$$

Bemerkung:

- Linksableitungsschritt für $wA\alpha$ ist durch die nächsten k auf w folgenden Symbole bestimmt.
- Der NTA(G) kann für $G \in LL(k)$ mit k -look-ahead auf der Eingabe deterministisch simuliert werden.

Problem: Bestimmung der A -Regel aus k -look-ahead.

Lemma 2.1 $G \in LL(k) \iff$ Für alle l-Ableitungen der Form

$$S \xRightarrow{*}_l wA\alpha \begin{cases} \nearrow w\beta\alpha \\ \searrow w\gamma\alpha \end{cases} \quad \text{mit } \beta \neq \gamma \text{ gilt: } first_k(\beta\alpha) \cap first_k(\gamma\alpha) = \emptyset.$$

Beweis: \downarrow ("Def. \curvearrowright Lemma")

Angenommen, die Definition und die Voraussetzung des Lemma ($\beta \neq \gamma$) gilt, aber $v \in first_k(\beta\alpha) \cap first_k(\gamma\alpha)$. Dann muß $\beta\alpha \xRightarrow{*}_l x$ und $\gamma\alpha \xRightarrow{*}_l y$ mit $first_k(x) = first_k(y)$. Also nach Def. $\beta = \gamma \Rightarrow$ Widerspruch!

\uparrow ("Lemma-Eigenschaft \curvearrowleft Definition-Eigenschaft")

Angenommen Lemma-Eigenschaft und Voraussetzung der Definition gilt und $\beta \neq \gamma$. Daraus folgt: $first_k(\beta\alpha) \cap first_k(\gamma\alpha) = \emptyset$. Widerspruch, da $first_k(x) \subseteq first_k(\beta\alpha)$ und $first_k(y) \subseteq first_k(\gamma\alpha)$.

Problem: Abhängig der look-ahead-Menge vom Rechtskontext α .

Ziel: Bestimmung der look-ahead-Menge aus Regel allein.

Idee: Mögliche Rechtskontexte vereinigen.

Definition 2.7 (follow-Mengen)

Sei $G \in CFG$, $A \in N$ und $k \in \mathbb{N}$. Wir definieren $follow_k(A) \subseteq \Sigma^*$ durch $follow_k(A) := \{v \in \Sigma^* \mid S \xRightarrow{*}_l wA\alpha, v \in first_k(\alpha)\}$.

Der Fall $k = 1$

I.A. genügt $k = 1$. $k > 1$ ist aufwendiger (wird aber zum Teil in heutigen Parser-Generatoren verwendet).

Satz 2.2 Für $G \in CFG$ (G reduziert) gilt: $G \in LL(1) \iff$ Für alle Regel-paare $A \rightarrow \beta \mid \gamma$ mit $\beta \neq \gamma$ folgt: $first_1(\beta follow_1(A)) \cap first_1(\gamma follow_1(A)) = \emptyset$.

Abkürzung: $fi := first_1$ und $fo := follow_1$

Definition 2.8

$la(A \rightarrow \beta) := fi(\beta fo(A))$ heißt **Look-ahead-Menge** von $A \rightarrow \beta$.

Beachte:

- $fi(\alpha) \subseteq \Sigma_\varepsilon := \Sigma \cup \{\varepsilon\}$
- $fo(A) \subseteq \Sigma_\varepsilon$
- $\beta fo(A) \subseteq \mathcal{X}^*$
- Für $\Gamma \subset \mathcal{X}^*$ ist $fi(\Gamma) := \bigcup_{\alpha \in \Gamma} fi(\alpha)$
- $\boxed{la(A \rightarrow \beta)} = fi(\beta fo(A)) \boxed{\subseteq \Sigma_\varepsilon}$

Eigenschaft:

- $\varepsilon \in fi(\beta fo(A)) \iff \beta \xrightarrow{*} \varepsilon$ und $\varepsilon \in fo(A)$
- $a \in fi(\beta fo(A)) \iff a \in fi(\beta)$ oder $[\beta \xrightarrow{*} \varepsilon$ und $a \in fo(A)]$

Satz 2.3 $G \in LL(1) \iff$ Für alle Regelpaare $A \rightarrow \beta | \gamma$ ($\beta \neq \gamma$) folgt:
 $la(A \rightarrow \beta) \cap la(A \rightarrow \gamma) = \emptyset$.

Beweis: " \Leftarrow " $G \in LL(1)$

Angenommen, es gibt $A \rightarrow \beta | \gamma$ mit $\beta \neq \gamma$ und $c \in fi(\beta fo(A)) \cap fi(\gamma fo(A))$ für $c \in \Sigma_\varepsilon$. Fall 1: $c = \varepsilon$, also $\varepsilon \in fo(A) \rightsquigarrow S \xrightarrow{*}_l wA\alpha$ und $\alpha \xrightarrow{*} \varepsilon$. Außerdem $\beta \xrightarrow{*} \varepsilon$ und $\gamma \xrightarrow{*} \varepsilon$. Dies ist bestimmt ein Widerspruch zu $LL(1)$, weil

$$S \xrightarrow{*}_l wA\alpha \begin{cases} \nearrow w\beta\alpha \\ \searrow w\gamma\alpha \end{cases} \text{ mit } \varepsilon \in fi(\beta\alpha) \cap fi(\gamma\alpha).$$

Fall 2: $c = a \in \Sigma$

Es folgt:

- 1) $a \in fi(\beta) \cap fi(\gamma)$
- 2) $a \in fi(\beta)$, $\gamma \xrightarrow{*} \varepsilon$ und $a \in fo(A)$
- 3) $a \in fi(\gamma)$, $\beta \xrightarrow{*} \varepsilon$ und $a \in fo(A)$
- 4) $\beta \xrightarrow{*} \varepsilon$, $\gamma \xrightarrow{*} \varepsilon$ und $a \in fo(A)$

Aus (1) ergibt sich (da G reduziert) eine Ableitung $S \xrightarrow{*}_l wA\alpha \begin{cases} \nearrow w\beta\alpha \\ \searrow w\gamma\alpha \end{cases}$ mit $a \in fi(\beta\alpha) \cap fi(\gamma\alpha)$, also Widerspruch zu $G \in LL(1)$, da $\beta \neq \gamma$.

In den Fällen (2)-(4) folgt aus $a \in fo(A)$ ebenso eine Ableitung

$$S \xrightarrow{*}_l wA\alpha \begin{cases} \nearrow w\beta\alpha \\ \searrow w\gamma\alpha \end{cases} \text{ mit } a \in fi(\alpha).$$

Für (2) folgt: $a \in fi(\beta)$, also $a \in fi(\beta\alpha)$, $\gamma \xrightarrow{*} \varepsilon$, also $a \in fi(\gamma\alpha)$.

Analog für (3) und (4).

" \curvearrowright ": $S \xrightarrow{*}_l wA\alpha \begin{cases} \nearrow w\beta\alpha \\ \searrow w\gamma\alpha \end{cases}$ mit $\beta = \gamma$.

Nach Voraussetzung gilt: $fi(\beta fo(A)) \cap fi(\gamma fo(A)) = \emptyset$
 $fi(\beta\alpha) \subseteq fi(\beta fo(A))$ und $fi(\gamma\alpha) \subseteq fi(\gamma fo(A)) \quad \curvearrowright \quad fi(\beta\alpha) \cap fi(\gamma\alpha) = \emptyset$

Berechnung der la-Mengen

1) $fi(X)$ für $X \in \mathcal{X}$

- $X = a \in \Sigma \quad \curvearrowright \quad fi(X) = \{X\}$
- $X \rightarrow a\alpha \quad \curvearrowright \quad a \in fi(X)$
- $X \rightarrow \varepsilon \quad \curvearrowright \quad \varepsilon \in fi(X)$
- $X \rightarrow A_1 \dots A_k Y \alpha, k \geq 0, Y \in \mathcal{X}, \varepsilon \in fi(A_1) \cap \dots \cap fi(A_k), a \in fi(Y) \quad \curvearrowright \quad a \in fi(X)$
- $X \rightarrow A_1 \dots A_k, k \geq 1, \varepsilon \in fi(A_1) \cap \dots \cap fi(A_k) \quad \curvearrowright \quad \varepsilon \in fi(X)$

2) $fi(X_1 \dots X_n)$ für $X_i \in \mathcal{X}, n \in \mathbb{N}$

- $\varepsilon \in fi(X_1) \cap \dots \cap fi(X_n) \quad \curvearrowright \quad \varepsilon \in fi(X_1 \dots X_n)$
- $\varepsilon \in fi(X_1) \cap \dots \cap fi(X_{i-1}), a \in fi(X_i) \quad \curvearrowright \quad a \in fi(X_1 \dots X_n)$
- $fi(\varepsilon) = \{\varepsilon\}$

3) $fo(B)$ für $B \in \mathcal{X}$

- $\varepsilon \in fo(S)$
- $A \rightarrow \alpha B \beta, a \in fi(\beta), a \in \Sigma \quad \curvearrowright \quad a \in fo(B)$
- $A \rightarrow \alpha B \beta, \varepsilon \in fi(\beta), X \in fo(A), X \in \Sigma \cup \{\varepsilon\} \quad \curvearrowright \quad X \in fo(B)$
- $A \rightarrow \alpha B, X \in fo(A), X \in \Sigma \cup \{\varepsilon\} \quad \curvearrowright \quad X \in fo(B)$

Beispiel G'_{AE} :

$$\begin{array}{llll} E \rightarrow TE' & (1) & E' \rightarrow +TE'|\varepsilon & (2,3) & T \rightarrow FT' & (4) \\ T \rightarrow *FT'|\varepsilon & (5,6) & F \rightarrow (E)|a & (7,8) & & \end{array}$$

First- und Follow-Mengen:

	E	E'	T	T'	F
fi	(+	(*	(
	a	ε	a	ε	a
fo	ε	$\varepsilon+$	+	*	
))	ε	ε	+
			()	ε
)

Look-ahead-Mengen:

1	(a	> durchschnittsfrei
2	+	
3	ε)	
4	(a	> durchschnittsfrei
5	*	
6	+ ε)	
7	(> durchschnittsfrei
8	a	

$\Rightarrow \boxed{G'_{AE} \in LL(1)}$

LL(1)-Test la-Mengen berechnen und Alternativen auf Disjunktheit prüfen.

Deterministischer TD-Analyseautomat für $G \in LL(1)$, $DTA(G)$

Idee: Die Zugehörigkeit des Eingabesymbols zu einer la-Menge steuert die Regelauswahl. 1-llok-ahead auf der Eingabe.

Modifikation des Ableitungsschritts des NTA(G):

- $(aw, A\alpha, z) \vdash (aw, \beta\alpha, zi)$ falls $\pi_i = A \rightarrow \beta$ und $\boxed{a \in la(\pi_i)}$
- $(\varepsilon, A\alpha, z) \vdash (\varepsilon, \beta\alpha, zi)$ falls $\pi_i = A \rightarrow \beta$ und $\boxed{\varepsilon \in la(\pi_i)}$

Folgerung: Deterministische Arbeitsweise des Analyseautomaten.

Beachte: Das Eingabesymbol wird bei Ableitungsschritten nicht gelöscht!

Darstellung des $DTA(G)$ durch die **Analysetabelle** von G oder die **action-Funktion** von G .

$$act : \underbrace{\Sigma_\varepsilon}_{\text{Eingabe}} \times \underbrace{(N \cup \Sigma_\varepsilon)}_{\text{Kellerspitze}} \rightarrow \underbrace{[\{\alpha | A \rightarrow \alpha \text{ in } G\} \times [p]]}_{\text{Behandlung NT}} \cup \underbrace{\{pop, error, accept\}}_{\text{Behandlung Terminalsymbol}}$$

ist definiert durch

- $act(x, \alpha) := (\alpha, i)$, falls $\pi_i = A \rightarrow \alpha$, $x \in la(\pi_i)$
- $act(a, a) := pop$
- $act(\varepsilon, \varepsilon) := accept$
- $act(x, x) := error$, sonst

Beachte: Look-ahead beseitigt Nichtdeterminismus und erlaubt frühe Fehlererkennung.

Parserkonstruktion nach TD-Methode

$G \in CFG$. Berechnung der la-Mengen (fi- und fo-Mengen). Analysetabelle, Eindeutigkeit prüfen \implies tabellengesteuerter Parser

Problem: mehrdeutige Analysetabelle, d.h. $G \notin LL(1)$

Transformation nach LL(1)

2 Methoden, G in eine äquivalente LL(1)-Grammatik zu transformieren (nicht immer möglich):

- 1) Beseitigung von Linksrekursion
- 2) Links-Faktorisieren

Die Methoden finden Verwendung in Parser-erzeugenden Systemen

Vorsicht! Transformationen erhalten zwar die Äquivalenz, im Allgemeinen aber nicht die syntaktische Struktur (Veränderung des Ableitungsbaums).

(1) Beseitigung von Linksrekursion

Definition 2.9

$G \in CFG$ linksrekursiv $\iff \exists A \in N, \alpha \in \mathcal{X}^* : A \xrightarrow{\pm} A\alpha$.

Folgerung: G linksrekursiv $\curvearrowright \forall k \in \mathbb{N} : G$ ist keine $LL(k)$ -Grammatik.

Grund: Wenn ein DTA $A \xrightarrow{\pm} A\alpha$ simuliert, so bleibt der Eingabekopf stehen. Gleicher Look-ahead, also Endlosschleife! Keine Ableitung der Form $S \xrightarrow{*}_l wA\beta \xrightarrow{\pm}_l w\alpha\beta \xrightarrow{*}_l wv$

Beispiel G_{AE} ist linksrekursiv:

$G_{AE} : \bar{E} \rightarrow E + T|T$ (1,2) $T \rightarrow T * F|F$ (3,4) $F \rightarrow (E)|a$ (5,6)

LL(1)-Test: $fi(E) = fi(T) = fi(F) = \{(\cdot, a)\}$

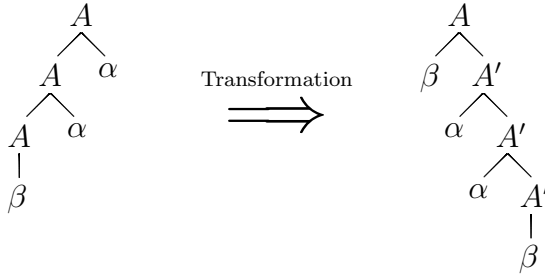
$\curvearrowright la(\pi_i) = \{(\cdot, a)\}$ für $i = 1, \dots, 4$ $\curvearrowright G_{AE} \notin LL(1)$.

Spezialfall Direkte Linksrekursion und ihre Beseitigung

$A \rightarrow A\alpha|\beta$ mit $\beta \neq A\dots$ und $\alpha \neq \varepsilon$ (ergibt $\beta\alpha^*$)

wird ersetzt durch $A \rightarrow \beta A'$ und $A' \rightarrow \alpha A'|\varepsilon$

Folgerung: $L(G)$ unverändert, jedoch neue syntaktische Struktur.



Kein Problem bei **assoziativen** Operatoren wie $+$, $*$, da Semantik invariant.

Beispiel Die Beseitigung der direkten Linksrekursion in G_{AE} ergibt die $LL(1)$ -Grammatik G'_{AE} .

Allgemeiner Fall indirekte Linksrekursion

$A \rightarrow A_1\alpha_1|\dots$

$A_1 \rightarrow A_2\alpha_2|\dots$

\vdots

$A_n \rightarrow A\alpha_{n+1}|\dots$

Idee: Beseitigung durch Transformation in Greibach Normalform (GNF).

GNF: Alle Regeln von der Form $A \rightarrow a\beta_1\dots\beta_n$ ($\beta_1 \neq S$) oder $S \rightarrow \varepsilon$.

Also $fi(\beta\alpha) \cap fi(\gamma\alpha) = \emptyset$.

Beachte: Beseitigung von Linksrekursion ergibt nicht notwendigerweise eine $LL(1)$ -Grammatik.

Grund: Jede $G \in CFG$ ist äquivalent in GNF transformierbar, aber $\mathcal{L}(LL(k)) \subsetneq \mathcal{L}(LL(k+1)) \subsetneq \mathcal{L}(DPDA) \subsetneq \mathcal{L}(PDA) = CFL$.

Komplexität der LL(1)-Analyse

$G \in LL(1) \iff G$ nicht linksrekursiv. Der $DTA(G)$ mit Eingabe von $w \in \Sigma^*$:

- $|w|$ Vergleichsschritte + 1 Erkennungsschritt für das Ende des Wortes
- maximal $|N|$ aufeinanderfolgende Ableitungsschritte

\iff maximal $|N| \cdot (|w| + 1)$ Transitionen.

Maximale Kellerlänge: $\max\{|\alpha| \mid A \rightarrow \alpha \text{ in } P\} \cdot |N| \cdot (|w| + 1)$

Also: linearer Zeit- und Platzbedarf

(2) Links-Faktorisieren

Beispiel $statement \rightarrow \text{if condition then statement else statement} \mid$
 $\text{if condition then statement}$

Idee: Verschieben der Entscheidung bis Alternative erkennbar:

$A \rightarrow \alpha\beta \mid \alpha\gamma$ ersetzen durch $A \rightarrow \alpha A'$ und $A' \rightarrow \beta \mid \gamma$.

TD-Analyse mit rekursiven Prozeduren

Idee: Keine explizite Kellerbenutzung, sondern implizite Verwendung des Laufzeitkellers durch den Einsatz von rekursiven Prozeduren.

Vorteil: leichte Programmierung (Wirth)

Spezialfall: $G \in LL(1)$, wie z.B. G'_{AE}

(1) Analyseverfahren durch rekursiven Abstieg (ohne la-Mengen), "Recursive descent parser"

Methode: $A \in N \mapsto A()$, parameterlose Prozedur zur Simulation eines Ableitungsschrittes

Annahme: Alternativen durch Eingabesymbol entscheidbar

Eingabe: **sym**: Variable für das Eingabesymbol

nextsym: zum Lesen des nächsten Eingabesymbols

Ausgabe: **print(i)**: Ausgabe einer Regelnummer

Beispiel: siehe Folie

(2) Zusätzliche Verwendung der la-Mengen

Vorteil: bessere Kontrolle der Regelverwendung, frühere Fehlererkennung

2.2 Bottom-Up-Analyse, LR(k)-Grammatik

Idee: Bottom-Up-Berechnung des Ableitungsbaums in Form einer gespiegelten Rechtsanalyse durch einen Kellerautomaten.

Shift-Schritte: Verschieben von Eingabesymbolen auf den Keller

Reduce-Schritte: Umkehrung von Ableitungsschritten (rechte Seite durch linke ersetzen)

\rightsquigarrow **Shift-Reduce-Verfahren**

Definition 2.10

Der (nichtdeterministische) Bottom-Up-Analyseautomat von $G \in CFG$, Bezeichnung $NBA(G)$:

Eingabelphabet: Σ

Kelleralphabet: \mathcal{X}

Ausgabealphabet: $[p]$

Konfigurationsmenge: $\mathcal{X}^* \times \Sigma^* \times [p]^*$ (Kellerspitze rechts)

Transitionen:

- Shift-Schritt: $(\alpha, aw, z) \vdash (\alpha a, w, z)$ für $a \in \Sigma$
- Reduce-Schritt: $(\beta\alpha, w, z) \vdash (\beta A, w, zi)$ falls $\pi_i = A \rightarrow \alpha$

Anfangskonfiguration für ein $w \in \Sigma^*$: $(\varepsilon, w, \varepsilon)$

Endkonfiguration: (S, ε, z)

Satz 2.4 Der $NBA(G)$ berechnet gespiegelte r-Analysen, d.h. für $w \in \Sigma^*$ und $z \in [p]^*$ gilt: z ist eine r-Analyse von $w \iff (\varepsilon, w, \varepsilon) \vdash^* (S, \varepsilon, \overleftarrow{z})$
(Dabei ist \overleftarrow{z} die Spiegelung von z .)

Nichtdeterminismus:

- 1) Shift- oder Reduce-Schritt?
- 2) Reduce-Schritt: linker Henkelrand
- 3) Reduce-Schritt: linke Regelseite
- 4) Analyseende

Ziel: Nichtdeterminismus durch k -look-ahead auf der Eingabe beseitigen.

LL(k)-Grammatiken

Generalvoraussetzung: G **startsepariert**, d.h. S nur in $S \rightarrow A$ mit $A \neq \varepsilon$.

Jede $G \in CFG$ läßt sich durch Hinzufügen von $S' \rightarrow S$ in eine startseparierte Grammatik transformieren. (Regelnummer: 0)

Folgerung: (S', ε, z) ist eine Endkonfiguration, die nicht erneut in eine weitere Endkonfiguration übergehen kann (Analyseende).

Beseitigung des restlichen Nichtdeterminismus durch $LR(k)$ -Grammatiken.

Definition 2.11 (LR(k)-Grammatiken)

Sei $G \in CFG$, startsepariert durch $S' \rightarrow S$, $k \in \mathbb{N}$. $G \in LR(k) \iff$ Für

alle Rechtsableitungen der Form $S \begin{matrix} \xrightarrow{r} \alpha A w \xrightarrow{*}_r \alpha \beta w \\ \xrightarrow{r} \alpha' A' w' \xrightarrow{*}_r \alpha \beta v \end{matrix}$ mit $first_k(w) = first_k(v)$
gilt: $\alpha' = \alpha$, $A' = A$, $w' = v$.

Folgerung: Der BU-Analyseautomat kann mit k -look-ahead auf der Eingabe die Transition entscheiden.

LR(0)-Grammatiken

$\bar{k} = 0$: \curvearrowright Entscheidung ohne look-ahead, allein durch Kellerinhalt $\alpha\beta$. Abstraktion endlicher Information aus $\alpha\beta$, welche für die Entscheidung ausreicht.

Definition 2.12 (LR(0)-Auskünfte, LR(0)-Mengen)

Sei $G \in CFG$ mit $S' \rightarrow S$ und $S' \xrightarrow{*}_r \alpha Aw \Rightarrow_r \alpha\beta_1\beta_2w$. Dann heißt $[A \rightarrow \beta_1 \cdot \beta_2]$ eine **LR(0)-Auskunft für** $\alpha\beta_1$. Für $\gamma \in \mathcal{X}^*$ bezeichnet $LR(0)(\gamma)$ die Menge aller LR(0)-Auskünfte für γ , die sogenannte **LR(0)-Menge von** γ .

Folgerung:

- 1) $LR(0)(\gamma)$ endlich
- 2) $LR(0)(G) := \{LR(0)(\gamma) \mid \gamma \in \mathcal{X}^*\}$ endlich
- 3) $[A \rightarrow \beta_1 \cdot] \in LR(0)(\gamma)$ signalisiert Reduktionsmöglichkeit $(\alpha\beta_1, w, z) \vdash (\alpha A, w, zi)$ für $\pi_i = A \rightarrow \beta_1$ und $\gamma = \alpha\beta_1$.
- 4) $[A \rightarrow \beta_1 \cdot \beta_2] \in LR(0)(\gamma)$ mit $\beta_2 \neq \varepsilon$ bedeutet Shift-Möglichkeit wegen unvollständigem Henkel (rechte Regelseite).
- 5) $G \in LR(0) \iff$ Die LR(0)-Mengen enthalten keine widersprüchlichen Auskünfte (immer eindeutig).

Berechnung der LR(0)-Mengen einer Grammatik

Satz 2.5 $G \in CFG$ mit $S' \rightarrow S$. G reduziert. Dann gilt:

- 1) $LR(0)(\varepsilon)$ ist die kleinste Menge, welche
 - a) $[S' \rightarrow \cdot S]$ enthält und
 - b) mit $[A \rightarrow \cdot B\delta]$ und $B \rightarrow \beta$ in G auch $[B \rightarrow \cdot \beta]$ enthält
- 2) $LR(0)(aX)$ mit $X \in \mathcal{X}$ ist die kleinste Menge, welche
 - a) $[A \rightarrow \beta_1 X \cdot \beta_2]$ enthält, falls $[A \rightarrow \beta_1 \cdot X \beta_2] \in LR(0)(\alpha)$
 - b) und mit $[A \rightarrow \gamma \cdot B\delta]$ und $B \rightarrow \beta$ in G auch $[B \rightarrow \cdot \beta]$ enthält

Beispiel Siehe Folie 2.11 \implies Keine widersprüchlichen Auskünfte $\implies G$ ist LR(0)-Grammatik.

Die goto-Funktion

G ist LR(0)-Grammatik $\curvearrowright LR(0)(\gamma)$ liefert Shift-Reduce-Entscheidung für den BU-Analyseautomat mit Keller γ . Neues Kelleralphabet: $LR(0)(G)$ statt \mathcal{X} .

Beachte: $LR(0)(\gamma X)$ ist bestimmt durch $LR(\gamma)$ und X , aber unabhängig von γ .

$goto : LR(0)(G) \times \mathcal{X} \rightarrow LR(0)(G)$ ist definiert durch $goto(I, X) := I' \iff \exists \gamma \in \mathcal{X}^* : I = LR(0)(\gamma), I' = LR(0)(\gamma X)$.

Berechnung der LR(0)-Mengen und goto-Funktion durch Potenzmengenkonstruktion des nichtdeterministischen endlichen Automaten.

Sei $G \in CFG$, G startsepariert mit $S' \rightarrow S$. Konstruktion eines $\mathfrak{A}(G) \in NFA_\varepsilon$:

Zustandsmenge: $Q := \{[A \rightarrow \beta_1 \cdot \beta_2] \mid A \rightarrow \beta_1 \beta_2 \text{ in } G\}$

Eingabealphabet: $\mathcal{X} \cup \Sigma$

Anfangszustand: $q_0 := [S' \rightarrow S]$

(Endzustandsmenge irrelevant, $F = Q$)

Transitionsfunktion $\delta : Q \times \mathcal{X}_\varepsilon \rightarrow \mathcal{P}(Q)$

$\delta([A \rightarrow \beta_1 \cdot X \beta_2], X) \ni [A \rightarrow \beta_1 X \cdot \beta_2]$

$\delta([A \rightarrow \beta_1 \cdot B \beta_2], \varepsilon) \ni [B \rightarrow \cdot \gamma]$ falls $B \rightarrow \gamma$

Potenzmengenkonstruktion (Thompson)

Konstruktion von $\widehat{\mathfrak{A}(G)} = \langle \widehat{Q}, \mathcal{X}, \widehat{\delta}, \widehat{q}_0, \emptyset \rangle \in DFA$.

Erweiterte Transitionsfunktion $\bar{\delta} : \mathcal{P}(Q) \times \mathcal{X}^* \rightarrow \mathcal{P}(Q)$

$\bar{\delta}(T, \varepsilon) := \varepsilon(T)$

$\bar{\delta}(T, wa) := \varepsilon(\bigcup_{q \in \bar{\delta}(T, w)} \delta(q, a))$

$\widehat{Q} := \{\bar{\delta}(\{[S' \rightarrow \cdot S]\}, \alpha) \mid \alpha \in \mathcal{X}^*\}$

$\widehat{\delta}(T, X) := \bar{\delta}(T, X)$

$\widehat{q}_0 := \varepsilon(\{[S' \rightarrow \cdot S]\})$

Dann gilt: $\widehat{Q} = LR(0)(G)$, $\widehat{\delta} = goto$

Konstruktion des deterministischen BU-Analyseautomat für $G \in LR(0)$

Hilfsmittel: $LR(0)(G)$ und goto-Funktion

Die action-Funktion von G gibt die Shift-Reduce-Entscheidung an:

$act : LR(0)(G) \rightarrow \{shift, red\ i, accept, error \mid i \in [p]\}$

$$act(I) := \begin{cases} red\ i & , \text{ falls } \pi_i = A \rightarrow \alpha \text{ und } [A \rightarrow \alpha \cdot] \in I \\ shift & , \text{ falls } [A \rightarrow \alpha \cdot X \beta] \in I \\ accept & , \text{ falls } [S' \rightarrow S \cdot] \in I \\ error & , \text{ falls } I = \emptyset \end{cases}$$

Eindeutig bei $LR(0)$.

Die Funktionen act und $goto$ bilden die $LR(0)$ -Analysetabelle von G . Diese Tabelle bestimmt den $LR(0)$ -Analyseautomaten, $DBA(G)$:

Eingabealphabet: Σ

Kelleralphabet: $\Gamma := LR(0)(G)$

Ausgabealphabet: $\Delta := [p] \cup \{0\} \cup \{error\}$

Konfigurationsmenge: $\Gamma^* \times \Sigma^* \times \Delta^*$

Transitionen:

- Shift-Schritt: $(\alpha I, aw, z) \vdash (\alpha II', w, z)$ falls $act(I) = shift$ und $goto(I, a) = I'$
- Reduce-Schritt: Abkürzung: $wa_1 \dots a_n | n := w$ (Entfernen der letzten n Zeichen)
 $(\alpha I, w, z) \vdash (\widetilde{\alpha} \widetilde{I}', w, zi)$ falls $act(I) = red\ i$, $\pi_i = A \rightarrow X_1 \dots X_n$, $\alpha I | n = \widetilde{\alpha} \widetilde{I}$ und $goto(I, A) = I'$
- Accept-Schritt: $(I_0 I, \varepsilon, z) \vdash (\varepsilon, \varepsilon, z0)$ falls $act(I) = accept$

- Fehlererkennung: $(\alpha I, w, z) \vdash (\varepsilon, \varepsilon, z \text{ error})$, sonst

Anfangskonfiguration für $w \in \Sigma^* : (I_0, w, \varepsilon)$ mit $I_0 = LR(0)(\varepsilon)$

Folgerung: Wenn $LR(0)(G)$ konfliktfrei, also *act* eindeutig, so arbeitet der $LR(0)$ -Analyseautomat deterministisch und es gilt für $w \in \Sigma^*$ und $z \in [p]^*$:

- $(I_0, w, \varepsilon) \vdash^* (\varepsilon, \varepsilon, z0) \iff \overleftarrow{z}$ ist Rechtsanalyse von w
- $(I_0, w, \varepsilon) \vdash^* (\varepsilon, \varepsilon, z \text{ error}) \iff w \notin L(G)$

Beispiel $w = aac$ bestimmt die folgende Berechnung:

$(0, aac, \varepsilon) \vdash (04, ac, \varepsilon) \vdash (044, c, \varepsilon) \vdash (0446, \varepsilon, \varepsilon) \vdash (0448, \varepsilon, 6) \vdash (048, \varepsilon, 65) \vdash (03, \varepsilon, 655) \vdash (01, \varepsilon, 6552) \vdash (\varepsilon, \varepsilon, 65520)$

Überprüfung: $S \xrightarrow{0} S' \xrightarrow{2} C \xrightarrow{5} aC \xrightarrow{5} aaC \xrightarrow{6} aac$

SLR(1)-Analyse

S - simple, look-ahead mit einem Symbol

Beispiel siehe Folie CB 2-15

Konflikttypen: *RR* (reduce/reduce)-Konflikt und *SR* (shift/reduce)-Konflikt

Im Beispiel nur *SR*-Konflikte.

Ziel: Beseitigung des Konflikts durch das Eingabesymbol (look-ahead)

Beobachtung

$$1) [A \rightarrow \beta_1 \cdot a\beta_2] \in LR(0)(\alpha\beta_1) \quad \curvearrowright \quad S \xRightarrow{*}_r \alpha A w \Rightarrow_r \underbrace{\alpha\beta_1}_{\text{Keller}} \underbrace{a}_{\text{Eingabesymbol}} \beta_2 w$$

Also: Shift nur bei Eingabe von a .

$$2) [A \rightarrow \beta \cdot] \in LR(0)(\alpha\beta) \quad \curvearrowright \quad S \xRightarrow{*}_r \alpha A a w \Rightarrow_r \underbrace{\alpha\beta}_{\text{Keller}} \underbrace{a}_{\text{Eingabesymbol}} w \quad \curvearrowright$$

$a \in fo(A)$ Also: Reduktion mit $A \rightarrow \beta$ nur falls $a \in fo(A)$.

Für obiges Beispiel:

I_1 : Shift bei Eingabe von $+$, Accept bei Eingabe von $\$$ ($\$$ entspricht dem rechten Eingaberand $\hat{=}$ leeres Wort ε)

I_2 : Shift bei Eingabe von $*$, Reduce bei Eingabe von aus $fo(E) = \{\underbrace{\varepsilon}_{\hat{=}\$}, +,)\}$

I_9 : Shift bei Eingabe von $*$, Reduce bei Eingabe von $\$, +,)$

\implies Konflikte beseitigt.

Weiterer Vorteil: Frühere Fehlererkennung durch genauere Kontrolle der Aktionen.

SLR(1)-action-Funktion

$$act : LR(0)(G) \times (\Sigma \cup \{\$\}) \rightarrow \{shift, red\ i, accept, error \mid 1 \leq i \leq r\}$$

$$act(I, a) := \begin{cases} shift & , \text{ falls } [A \rightarrow \alpha \cdot a\beta] \in I \\ red\ i & , \text{ falls } \pi_i = A \rightarrow \alpha, [A \rightarrow \alpha \cdot] \in I \text{ und } a \in fo(A) \\ accept & , \text{ falls } [S \rightarrow S'] \in I \text{ und } a = \$ \\ error & , \text{ sonst} \end{cases}$$

Definition 2.13

$G \in SLR(1) \iff act(I, a)$ eindeutig.

LR(1)-Analyse

Nicht immer sind Konflikte über follow-Mengen lösbar. Beispiel: Folie CB 2-17
Verfeinerung der $LR(0)$ -Auskünfte durch Mitführen der möglichen look-ahead-Symbole.

Definition 2.14 (LR(1)-Auskünfte und LR(1)-Mengen für $G \in CFG$)

- 1) Wenn $S \xrightarrow{*}_r \alpha A a w \Rightarrow_r \alpha \beta_1 \beta_2 a w$, so $[A \rightarrow \beta_1 \cdot \beta_2, a] \in LR(1)(\alpha \beta_1)$
- 2) Wenn $S \xrightarrow{*}_r \alpha A \Rightarrow_r \alpha \beta_1 \beta_2$, so $[A \rightarrow \beta_1 \cdot \beta_2, \$] \in LR(1)(\alpha \beta_1)$

$$LR(1)(G) := \{LR(1)(\gamma) \mid \gamma \in \mathcal{X}^*\}$$

Berechnung der LR(1)-Mengen

Modifikation der Berechnung von $LR(0)(G)$ unter Berücksichtigung des Rechtskontexts

- $LR(1)(\varepsilon)$:
 - $[S' \rightarrow \cdot S, \$]$
 - Wenn $[A \rightarrow \cdot B\delta, x]$, $B \rightarrow \beta$ in G , $x \in \Sigma \cup \{\$\}$ und $y \in fi(\delta x)$, so $[B \rightarrow \cdot \beta, y] \in LR(1)(\varepsilon)$
- $LR(1)(\alpha X)$:
 - Wenn $[A \rightarrow \beta_1 \cdot X \beta_2, x] \in LR(1)(\alpha)$, so $[A \rightarrow \beta_1 X \cdot \beta_2, x] \in LR(1)(\alpha X)$
 - Wenn $[A \rightarrow \gamma \cdot B\delta, x] \in LR(1)(\alpha X)$, $B \rightarrow \beta$ in G und $y \in fi(\delta x)$, so $[B \rightarrow \cdot \beta, y] \in LR(1)(\alpha X)$

Die LR(1)-action-Funktion von G

$act : LR(1)(G) \times (\Sigma \cup \{\$\}) \rightarrow \{shift, accept, error\} \cup \{red\ i \mid 1 \leq i \leq r\}$ sei definiert durch

$$act(I, x) := \begin{cases} red\ i & , \text{ falls } \pi_i = A \rightarrow \alpha \text{ und } [A \rightarrow \alpha \cdot, x] \in I \\ accept & , \text{ falls } x = \$ \text{ und } [S' \rightarrow S \cdot] \in I \\ shift & , \text{ falls } x \neq \$ \text{ und } [A \rightarrow \alpha_1 \cdot x \alpha_2, y] \in I \\ error & , \text{ sonst} \end{cases}$$

Dann gilt: $G \in LR(1) \iff act$ eindeutig (konfliktfrei).

Beispiel Folie CB 2-19

LALR(1)-Analyse

Beseitigung von Konflikten nach LR(1) zu aufwendig.

Im Beispiel: $|LR(0)(G)| = 11$, $|LR(1)(G)| = 15$.

Algol60: $|LR(0)(G)| = 100$, $|LR(1)(G)| = 1000$.

Beobachtung: Informationsredundanz bei LR(1)(G₂)

Definition 2.15

$I_1, I_2 \in LR(1)(G)$ heißen LR(0)-**äquivalent**, $I_1 \underset{0}{\sim} I_2 \iff$ die "LR(0)-Anteile" von I_1 und I_2 sind gleich.

Beispiel $I'_4 \underset{0}{\sim} I'_{11}$, $I'_5 \underset{0}{\sim} I'_{12}$, $I'_7 \underset{0}{\sim} I'_{13}$, $I'_8 \underset{0}{\sim} I'_{10}$

Folgerung: $|LR(1)(G)/\underset{0}{\sim}| = |LR(0)(G)|$

Oft können LR(0)-äquivalente LR(1)-Informationen vereinigt werden, ohne daß die Konfliktlösbarkeit verloren geht.

Definition 2.16

$I \in LR(1)(G)$ bestimmt eine LALR(1)-Menge $\bigcup\{I' \in LR(1)(G) | I' \underset{0}{\sim} I\}$.

Es gilt: $|LALR(1)(G)| = |LR(0)(G)|$.

Aber im Unterschied zu LR(0)-Mengen enthalten LALR(1)-Mengen look-ahead-Symbole zur Lösung von Konflikten.

Die LALR(1)-action-Funktion von G ist analog zu LR(1) definiert.

Definition 2.17

$G \in LALR(1) \iff$ LALR(1)-action-Funktion ist eindeutig.

Beispiel Die LALR(1)-Mengen von G_2 , $LALR(1)(G_2) := \{I_i^{(1/0)} | 1 \leq i \leq 9\}$

$I_i^{(1/0)} = I'_i$ für $i \in \{0, 1, 2, 3, 6, 9\}$

$I_4^{(1/0)} = I'_4 \cup I'_{11} : [L \rightarrow * \cdot R, = /\$] [R \rightarrow \cdot L, = /\$] [L \rightarrow \cdot * R, = /\$] [L \rightarrow \cdot a, = /\$]$

$I_5^{(1/0)} = I'_5 \cup I'_{12} : [L \rightarrow a \cdot, = /\$]$ (Vergrößerung von I'_{12})

$I_7^{(1/0)} = I'_7 \cup I'_{13} : [L \rightarrow * R \cdot, = /\$]$

$I_8^{(1/0)} = I'_8 \cup I'_{10} : [R \rightarrow L \cdot, = /\$]$

Die LR(1)-action-Funktion zeigt, daß beim Übergang zu LALR(1) keine Konflikte auftreten $\implies G_2 \in LALR(1)$.

Die LR(1)-goto-Funktion überträgt sich auf LALR(1)(G), weil für LR(1)-Mengen I_1 und I_2 gilt: $I_1 \underset{0}{\sim} I_2 \rightsquigarrow goto(I_1, x) \underset{0}{\sim} goto(I_2, x)$.

Grund: Der "LR(0)-Kern" von $LR(1)(\alpha X)$ ist durch den "LR(0)-Kern" von $LR(1)(\alpha)$ und X vollständig bestimmt.

2.3 Bottom-Up-Analyse mehrdeutiger Grammatiken

Es gilt für $G \in CFG$: G mehrdeutig $\iff G \notin LR = \bigcup_{k \in \mathbb{N}} LR(k)$.

Mehrdeutigkeit: natürliches Beschreibungsmittel bei Programmiersprachen zur Vermeidung aufwendiger Klammerung.

Auflösung durch Regeln für Präzedenz und Assoziativität von Op-Symbolen (allgemeiner: von Synt. Konstruktionen).

Beispiel $G_{AE}^m : E \rightarrow E + E | E * E | (E) | id$

Mehrdeutige Grammatiken

G_{AE}^m , Präzedenz: $*$ vor $+$, Assoziativität: links.

Konflikte: I_1 $SLR(1)$ -lösbar, I_7, I_8 nicht LR -lösbar

Beispiel-Rechnung: $I_0 a + a * a$, $I_0 I_3 + a * a$, $I_0 I_1 + a * a$, $I_0 I_1 I_4 a * a$,
 $I_0 I_1 I_4 I_3 * a$, $I_0 I_1 I_4 I_7 * a \implies$ shift oder reduce?

Beispiel Mehrdeutigkeit bei Verzweigungen ("dangling else")

$S \rightarrow iSeS | iS|a|b$

if b then if b then a else a

Klammerung 1

Klammerung 2

Klammerung 1 macht man nicht, Klammerung 2 ist Standard

$act(I_4, e) = shift$

3 Semantische Analyse, Attributgrammatiken

Ergebnis der syntaktischen Analyse: Ableitungsbaum

Kontextabhängige Eigenschaften:

- Deklariertheit von Bezeichnern
- Typinformationen

nicht durch CFG beschreibbar. Festlegung dieser Eigenschaften durch

- Gültigkeitsregeln: Gültigkeitsbereich einer Deklaration
- Sichtbarkeitsregeln: Sichtbarkeit im Gültigkeitsbereich
- Typvorschriften: Typkonsistenz

Statische Semantik: Kontextabhängige, laufzeitunabhängige Eigenschaften eines Programms. Formale Beschreibung durch **Attributgrammatiken**.

Idee: $CFG+$ semantische Regeln \rightsquigarrow Zusatzinformationen für den Ableitungsbaum

Semantische Analyse = Attributberechnung

Ihr Ergebnis: attributierter Ableitungsbaum

Grundlage für die anschließende Synthesephase.

Attributgrammatiken

Idee: Attribute für $A \in N$, semantische Regeln für ihre Berechnung

synthetische Attribute: Bottom-Up-Berechnung

inherit¹ Attribute: Top-Down-Berechnung

\curvearrowright beliebiger Informationstransfer im Ableitungsbaum

Attributwerte: Symboltabellen, Typen, Code, Fehler, ...

Breite Anwendbarkeit von Attributgrammatiken, syntaxgerichtete Programmierung

Automatische Attributauswertung in Compilergeneratoren

Hist.: Knuth[68], Semantics of CFLs

Beispiel Folie CB 3-1

$$B \rightarrow 0 \quad v.0 = 0$$

$$B \rightarrow 1 \quad v.0 = 1$$

$$L \rightarrow B \quad v.0 = v.1 \quad l.0 = 1$$

$$L \rightarrow LB \quad v.0 = 2 * v.1 + v.2 \quad l.0 = l.1 + 1$$

$$N \rightarrow L \quad v.0 = v.1$$

$$N \rightarrow L.L \quad v.0 = v.1 + v.3/2^{l.3}$$

G_B erzeugt Binärzahlen mit und ohne Punkt, N Startsymbol

Synthetische Attribute: $B, N: v$ (value)

$L: v, l$ (value, length)

¹vererbende

Semantische Regeln: Attributgleichungen mit Attributvariablen

Index i : i -tes Symbol

Ziel: Bestimmung des Zahlenwertes

Attributwerte von v : rationale Zahlen ($A^v = \mathbb{Q}$)

Attributwerte von l : natürliche Zahlen ($A^l = \mathbb{N}$)

2. Attributierungsart von G_B mit synthetischen und inheriten Attributen

Zusätzlich inherites Attribut für Bits und Listen: p (position)

Beispiel Folie CB 3-3

Berechnung des Wurzelattributs:

- 1) Längen \uparrow
- 2) Position \downarrow
- 3) Werte \uparrow

Definition 3.1 (Attributgrammatik)

Sei $G = \langle N, \Sigma, P, S \rangle \in CFG$. Sei Att eine Menge von Attributen, sei $A = (A^\alpha | \alpha \in Att)$ eine Familie von **Attributwertungen** und sei $att : \mathcal{X} \rightarrow \mathcal{P}(Att)$ eine **Attributzuordnung**.

Sei $Att = Syn \cup Inh$ eine Zerlegung in Teilmengen **synthetischer** und **inheriter Attribute**, so daß att in $syn : \mathcal{X} \rightarrow \mathcal{P}(Syn)$ mit $syn(X) = att(X) \cap Syn$ und $inh : \mathcal{X} \rightarrow \mathcal{P}(Inh)$ mit $inh(X) = att(X) \cap Inh$ zerfällt.

Eine Regel $\pi = X_0 \rightarrow X_1 X_2 \dots X_r \in P$ bestimmt die Menge $Var_\pi := \{\alpha.i | \alpha \in att(X_i), 0 \leq i \leq r\}$ der formalen Attributvariablen von π mit den Teilmengen $IVar_\pi := \{\alpha.i | (i = 0 \text{ und } \alpha \in syn(X_i)) \text{ oder } (1 \leq i \leq r \text{ und } \alpha \in inh(X_i))\}$ und $OVar_\pi := Var_\pi \setminus IVar_\pi$ der **Innen-** und **Außenvariablen**.

Eine **Attributgleichung** von π (semantische Regel) hat die Form

$$\alpha.i = f(\alpha_1.i_1, \dots, \alpha_n.i_n) \text{ mit } \alpha.i \in IVar_\pi, \alpha_1.i_1, \dots, \alpha_n.i_n \in OVar_\pi, \\ f : A^{\alpha_1} \times A^{\alpha_2} \times \dots \times A^{\alpha_n} \rightarrow A^\alpha \text{ und } n \in \mathbb{N}.$$

Sei E_π eine (endliche) Menge von Attributgleichungen, in der jede Innenvariable genau einmal vorkommt. Dann heißt $\mathfrak{A} = \langle G, \{E_\pi | \pi \in P\} \rangle$ eine **Attributgrammatik**, Bezeichnung: $\mathfrak{A} \in AG$.

Definition 3.2 (Attributgleichungssystem eines Ableitungsbaums)

Sei $\mathfrak{A} = \langle G, \{E_\pi | \pi \in P\} \rangle \in AG$. \mathfrak{A} induziert für jeden Ableitungsbaum t von G ein **Attributgleichungssystem** E_t :

Sei $Kn(t)$ die Menge der Knoten von t . Sie bestimmt die Menge

$Var_t := \{\alpha.k | k \in Kn(t) \text{ markiert durch } X \in \mathcal{X}, \alpha \in att(X)\}$ der **aktuellen Attributvariablen von t** . Wird an einem inneren Knoten (kein Blattknoten) $k_0 \in Kn(t)$ die Regel $\pi = X_0 \rightarrow X_1 X_2 \dots X_r$ angewandt und sind $k_1, \dots, k_n \in Kn(t)$ die entsprechenden Nachfolgeknoten, so erhält man das **Attributgleichungssystem E_{k_0} von k_0** aus E_π durch die Indextransformation ($i \rightarrow k_i | 0 \leq i \leq r$) bei den Attributvariablen (formale \rightarrow aktuelle Parameter).

Dann ist $E_t := \bigcup \{E_k | k \text{ innerer Knoten von } t\}$.

Beachte: Zu jeder aktuellen Attributvariablen $\alpha.k$, ausgenommen die inheriten der Wurzel und die synthetischen der Blätter, gibt es genau eine Gleichung $\alpha.k = \dots$

Annahme

- keine inheriten Attribute des Startsymbols (ausgenommen inkrementelle Übersetzung)
- synthetische Attribute der Terminalsymbole vom Scanner geliefert

Lösbarkeit von E_t :

E_t kann keine, genau eine oder mehrere Lösungen haben.

Beispiel G enthalte die Regeln $A \rightarrow u \underbrace{B}_{\text{Symbol } i} v$ und $B \rightarrow w$. Ferner: $\alpha \in \text{syn}(B)$

und $\beta \in \text{inh}(B)$.

Attributgleichungen: $\dots \quad \beta.i = f(\alpha.i) \quad \alpha.0 = g(\beta.0) \quad \dots$

Also existiert in E_t eine **zirkuläre Abhängigkeit**: $\beta.k = f(\alpha.k) \quad \alpha.k = g(\beta.k)$

Für $A^\alpha = A^\beta = \mathbb{N}$, $g = \text{id}_{\mathbb{N}} \quad \curvearrowright \quad \beta.k = f(\beta.k)$

- 1) $f(x) = x + 1 \quad \curvearrowright \quad$ keine Lösung
- 2) $f(x) = 2x \quad \curvearrowright \quad$ eine Lösung ($\beta.k = 0$)
- 3) $f(x) = x \quad \curvearrowright \quad$ unendlich viele Lösungen

Folgerung: Zirkularitäten sind unerwünscht. Sie entstehen erst in $E_t := \bigcup \{E_k | k \text{ innerer Knoten von } t\}$, nicht in E_π .

Definition 3.3

$\mathfrak{A} \in AG$ heißt **zirkulär** \iff Es gibt einen Ableitungsbaum t mit zirkulärem Attributgleichungssystem E_t , d.h. eine aktuelle Attributvariable hängt von sich selbst ab.

Satz 3.1 Es ist entscheidbar, ob $\mathfrak{A} \in AG$ zirkulär ist.

Zeitkomplexität: $\mathcal{O}(2^n)$ für $n = |\mathfrak{A}|$.

Hilfsmittel für Zirkularitätstests und Attributberechnung

Definition 3.4

Sei $\mathfrak{A} \in AG$ und t ein Ableitungsbaum von \mathfrak{A} . E_t bestimmt den Abhängigkeitsgraphen DG (Dependency graph):

Knotenmenge $K_n(DG_t) := \text{Var}_t$

Kantenmenge $(x_1, x_2) \in \text{Kan}(DG_t) \iff x_2 = f(\dots, x_1, \dots) \in E_t$

Also: $(x_1) \longrightarrow (x_2)$ in DG_t , wenn x_2 direkt von x_1 abhängt.

Attributberechnung

- 1) E_t als Termersetzungssystem, TD-Berechnung: Keine Zirkularität \implies Termination mit eindeutiger Lösung
- 2) BU-Berechnung: Variablen durch Werte ersetzen und Terme ausrechnen
- 3) Uniforme Berechnung: Unabhängigkeit vom Ableitungsbaum
 - a) Berechnungspläne für $(E_\pi | \pi \in P)$ aufstellen [Kennedy/Warren]
 - b) Rekursive Prozeduren/Funktionen für $(E_\pi | \pi \in P)$ [Jourdan/Gallie]
Idee: Jeder synthetischen Attributvariablen wird eine Prozedur/Funktion zugeordnet mit den inheriten Attributvariablen als Parameter.
Verwendung vor allem in der automatischen Compilererzeugung
- 4) Spezialfälle: SAG, LAG mit Attributberechnungen während der Syntaxanalyse

S-Attributgrammatiken**Definition 3.5**

$\mathfrak{A} \in AG$ heißt **S-Attributgrammatik**, $\mathfrak{A} \in SAG$, wenn $Inh = \emptyset$, also $Att = Syn$.

Folgerung: BU-Berechnung der Attributwerte

Spezialfall: Bestimmung des Wurzelattributs

Idee: Durchführung während der BU-Syntaxanalyse

$A \rightarrow BaD$

$I_1 v_3 \quad v.0 = f(\dots$

$I_7 v_2 \quad w.0 = f(\dots$

$I_8 v_1$

I_2 Beim Reduce-Schritt werden simultan die Werte der synthetischen Attribute von A aus den Werten unter $v_1 v_2 v_3$ berechnet (Records)
Accept-Schritt: Werte der Wurzelattribute ausgeben

Beispiel Stackcode für arithmetische Ausdrücke

$E \rightarrow (E + E) \mid (E * E) \mid id \mid num$

Attribut c : Stackcode a : Adresse z : Zahl

$E \rightarrow (E + E) \quad c.0 = c.2; c.4; ADD \quad (\text{auch } +)$

$E \rightarrow (E * E) \quad c.0 = c.2; c.4; MULT \quad (\text{auch } *)$

$id \quad c.0 = LOAD \ a.1$

$num \quad c.0 = LIT \ z.1$

Werte von $a.1, z.1$: lexikalische Attribute, die mit dem Token vom Scanner übergeben werden: $(id, x) (num, 7)$

$((3 + x) * (y + 5)) \rightsquigarrow 3; x; +; y; 5; +; *$

Scanner: $((\langle num, 3 \rangle + \langle id, x \rangle) * (\langle id, y \rangle + \langle num, 5 \rangle))$

Codegenerierung durch Attributsauswertung während der Syntayanalyse

- a) Shift: Aufruf des Scanners durch "nextsym"
- 1) Token $\mapsto LR(0)$.Menge mit goto
 - 2) lexikalisches Attribut ebenfalls auf Analysesteller
- b) Reduce:
- 1) Reduktion auf dem Analysesteller
 - 2) Simultane Attributberechnung
- c) Accept: Wurzelattribute ausgeben

$$\begin{array}{l}
 \underline{\text{Beispiel}} \quad \begin{array}{c} num \mid 3 \\ (\\ (\end{array} \xRightarrow{\text{Reduce}} \begin{array}{c} id \mid x \\ + \\ E \mid LIT\ 3 \\ (\\ (\end{array} \xRightarrow{\text{Reduce}} \begin{array}{c}) \\ E \mid LOAD\ x \\ + \\ E \mid LIT\ 3 \\ (\\ (\end{array} \\
 \\
 \xRightarrow{\text{Reduce}} \begin{array}{c}) \\ E \mid LIT\ 3; LOAD\ x; ADD \\ (\end{array}
 \end{array}$$

Ergebnis: *LIT 3; LOAD x; ADD; LOAD y; LIT 5; ADD; MUL*

Beispiel Berechnung des abstrakten Syntaxbaums

Konkrete und abstrakte Syntax

$\pi = A_0 \rightarrow w_0 A_1 w_1 \dots A_r w_r$ repräsentiert ein Op.-Symbol

F_π vom Typ $A_1 x \dots x A_r \rightarrow A_0$ ($A_i := \text{Sorte|Typ}$)

Bemerkung: "Verkleben" der Regeln zu einem Ableitungsbaum entspricht der funkt. Applikation der zugehörigen Op.-Symbole.

Folgerung: Ableitungsbaum vereinfacht sich zum abstrakten Syntaxbaum (AST). Nur dieser ist für die Übersetzung erforderlich.

Konkrete Syntax: benutzerfreundlich: "Mix-Fix-Notation" (synthetischer Zucker) Verwendung natürlicher Sprache für Terminalsymbole von CFG.

Abstrakte Syntax: Darstellungsunabhängige algebraische Struktur

Beispiel Folie CB 3-6 `id=num+id; if id<num then id=num+id end`

Aufgabe Berechnung des AST während der BU-Analyse

Methode S-Attributgrammatik

Darstellung des Aufbaus von abstrakten Syntaxbäumen durch Konstruktion von Graphen

a) Graphen

$a \in Adr$ unendliche Menge von Adressen für Speicheradressen (Heap)

Ω Operationssymbolalphabet mit Stelligkeit

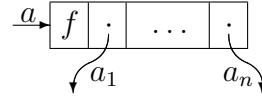
$f^{(n)} \in \Omega = \{assign^{(1)}, seq^{(2)}, cond^{(2)}, less^{(2)}, plus^{(2)}, ident^{(0)}, number^{(0)}\}$

Kno Menge der Ω -Knoten

$k \in Kno := \{(a, f, a_1, \dots, a_n) | a, a_i \in Adr, f \in \Omega\}$

$Graph$: Menge von Knoten mit einer Wurzel

$G \in Graph := \{(a, K) | a \in Adr, K \subseteq Kno\}$



b) Konstruktorfunktionen für Graphen

$f^{(n)} \in \Omega \mapsto mk - f : Graph^n \rightarrow Graph$

$mk - f((a_1, K_1), \dots, (a_n, K_n)) := (a, K)$ mit neuer Adresse a und

$K := \{a, f, a_1, \dots, a_n\} \cup \bigcup_{i=1}^n K_i$

S-Attributierung von G_S

Wurzeladressen als S-Attribute im Analysekeiler, Heap anstelle eines Ausgabebandes

Beispiel Typberechnung für arithmetische Ausdrücke

$Typ := \{int, real\}$ mit $max : Typ^2 \rightarrow Typ$ bzgl. $int < real$

L-Attributgrammatiken

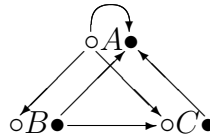
Definition 3.6

$\mathfrak{A} = \langle G, (E_\pi | \pi \in P) \rangle \in AG$ ist eine **L-Attributgrammatik**, $\mathfrak{A} \in LAG \iff$

Für jede Attributgleichung $\alpha.i = f(\dots, \beta.j, \dots)$ gilt: $\alpha \in Inh, \beta \in Syn \curvearrowright j < i$

Beispiel (DG_π)

Erlaubter Abhängigkeitsgraph:



- inherites Attribut
- synthetisches Attribut

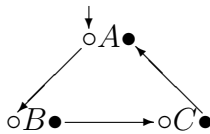
Folgerung: $G \in LAG$ nicht zirkulär.

Attributberechnung in "depth-first, left to right-order"

Baumreise mit zwei Knotenbesuchen

- 1) top-down: inherite Attribute
- 2) bottom-up: synthetische Attribute

Auswertungsreihenfolge:



Syntaxanalyse mit L-Attributierung

Sei $\mathfrak{A} = \langle G, (E_\pi | \pi \in P) \rangle \in LAG$ mit $G \in LL(1)$.

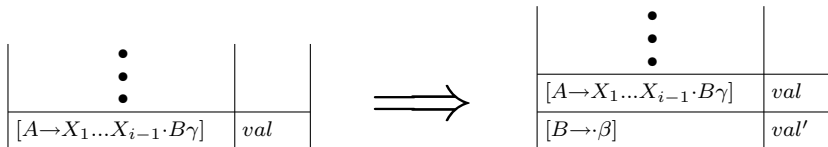
Ziel Erweiterung der Top-Down-Analyse zur Berechnung der synthetischen Wurzelattribute.

Methode Expansion von $A \in N$ auf Analysetabelle so gestalten, daß spätere Reduktion möglich, TD \rightarrow inherite Attribute, BU \rightarrow synthetische Attribute

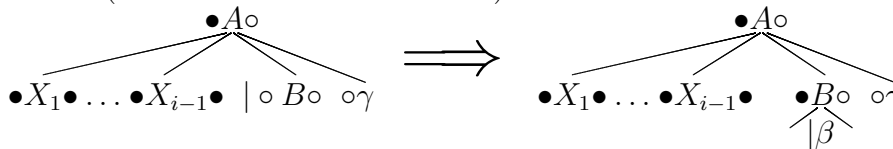
Kelleralphabet: $\bigcup_{\pi \in P} (LR(0)_{\pi}(G) \times Val_{\pi})$ mit $LR(0)_{\pi}(G) := \{[A \rightarrow \alpha \cdot \beta] | \pi = A \rightarrow \alpha\beta\}$ und $Val_{\pi} := \{val_{\pi} | val_{\pi} : Var_{\pi} \dashrightarrow \text{”Wertmenge (Attribute)”}\}$

Arbeitsweise 3 Fälle

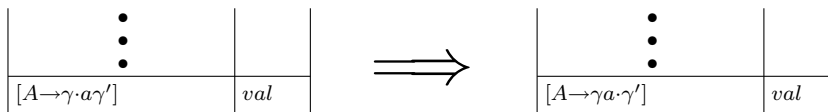
1) ”expand”-Schritt mit Berechnung inheriter Attribute



Dabei ist $B \rightarrow \beta$ wegen $G \in LL(1)$ durch Eingabe-look-ahead bestimmt. val' belegt die inheriten Attributvariablen von B nach den Attributgleichungen für $A \rightarrow X_1 \dots X_{i-1} B \gamma$. Sei $\alpha \in inh(B)$ und $\alpha.i = t \in E_{X_1 \dots X_{i-1} B \gamma}$, so ist $val'(\alpha.0) = \widehat{val}(t)$, wobei \widehat{val} die homomorphe Fortsetzung von val auf Terme (”einsetzen und ausrechnen”) ist.

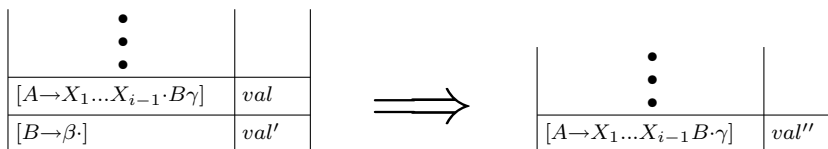


2) ”match”-Schritt



falls a nächstes Eingabesymbol ist

3) ”reduce”-Schritt mit Berechnung synthetischer Attribute



val'' erweitert val um die synthetischen Attribute von B

$$val''(\alpha.i) = \begin{cases} \widehat{val}(t) & , \text{ falls } \alpha.0 = t \in E_{B \rightarrow \beta} \\ val(\alpha.i) & , \text{ sonst} \end{cases}$$

Anwendung von LAG

Überprüfung der Deklariertheit von Bezeichnern.

Beispiel Sei G gegeben durch

- $P \rightarrow \underline{DL}; \underline{SL}$ Programm
- $\underline{DL} \rightarrow V | V; \underline{DL}$ Deklarationsliste
- $\underline{SL} \rightarrow S | S; \underline{SL}$ Statementliste
- $V \rightarrow a | b | \dots$ Variablen
- $S \rightarrow V; \underline{=} V$ Statement

a;b;a;c;c:=a;d:=b;...

Attribute

syn.	v	deklarierte/benutzte Variable	V	$\in \{a, b, \dots\}$
syn.	dv	deklarierte Variablen	DL	$\subseteq \{a, b, \dots\}$
inh.	env	Umgebung	S, SL	$\subseteq \{a, b, \dots\}$
syn.	$decl$	korrekt deklariert?	S, SL, P	$\in \{true, false\}$

Attributgleichungen

$P \rightarrow \underline{DL}; \underline{SL}$	$decl.0 = decl.3$ $env.3 = dv.1$	$\underline{SL} \rightarrow S; \underline{SL}$	$decl.0 = decl.1 \text{ AND } decl.3$ $env.1 = env.0$ $env.3 = env.0$
$\underline{DL} \rightarrow V$	$dv.0 = \{v.1\}$		
$\underline{DL} \rightarrow V; \underline{DL}$	$dv.0 = \{v.1\} \cup dv.3$	$V \rightarrow a b \dots$	$v.0 = a \dots$
$\underline{SL} \rightarrow S$	$env.1 = env.0$ $decl.0 = decl.1$	$S \rightarrow V := V$	$decl.0 = v.1 \in env.0$ AND $v.3 \in env.0$

Index

- ε -Hülle, 7
- Abkürzungen, 7
- Ableitungsbaum, 14
- Ableitungsrelation, 13
- Abstrakte Syntax, 33
- action-Funktion, 19
- aktuelle Attributvariable, 30
- Analyse, 9
 - fm-, 10
- Analysetabelle, 19
- assoziativen, 20
- Attribut, 5, 6
 - inherits, 29, 30
 - synthetisches, 29, 30
- Attributgleichung, 30
- Attributgleichungssystem, 30
- Attributgrammatik, 29, 30
- Attributwerte, 29
- Attributwertung, 30
- Attributzuordnung, 30
- Außenvariable, 30

- Backend, 4
- Bottom-Up-Analyse:, 13

- Compiler, 3

- eindeutig, 14
- Erzeugte Sprache, 13

- follow-Mengen, 16
- formale Attributvariable, 30
- Frontend, 4

- Innenvariable, 30

- Konkrete Syntax, 33
- Kontextfreie Grammatiken, 13

- l-Analyse, 14
- L-Attributgrammatik, 34

- Lexem, 5
- lexikalische Struktur, 5
- lexikalisches Atom, 5
- linksrekursiv, 20
- LL(k)-Grammatik, 16
- Look-ahead-Menge, 17
- LR(0)-äquivalent, 27
- LR(0)-Auskunft, 23
- LR(0)-Menge, 23
- LR(k)-Grammatik, 22

- Matching-Problem, 7
 - erweitert, 9
- mehrdeutig, 14

- NTA, 14

- Parser, 13
- Passes, 3
- Präzedenzregeln, 7
- Pragmatik, 3
- Prinzip des ersten Matches, 10
- Prinzip des längsten Matches, 9
- produktiv, 10

- Quellprogramm, 3

- r-Analyse, 14
- Reguläre Ausdrücke, 6
- Reguläre Definitionen, 7

- S-Attributgrammatik, 32
- Scanner, 5
- Semantik, 3
- Semantische Analyse, 29
- Shift-Reduce-Verfahren, 21
- Sieber, 11
- startsepariert, 22
- Symbole, 5
- Symbolklasse, 5
- Syntax, 3

Thompson-Konstruktion, 8
Token, 5, 6
Top-Down-Analyse:, 13
Top-Down-Analyseautomat, 14

Zeichen, 5
Zeichensatz, 5
Zerlegung, 9
 lm-, 9
Zielprogramm, 3
zirkulär, 31
zirkuläre Abhängigkeit, 31